

KUZEY ONTARIO'DAKİ YÜZYE ÇÖKELLERİNİN ELEKTRİKSEL ÖZELLİKLERİ

Electrical Properties of Surficial Deposits in Northern Ontario

O. Metin İLKİŞIK*, J. David REDMAN** ve David W. STRANGWAY⁺

ÖZET

Kanada, Kuzey Ontario'da yürütülen yüksek frekanslı manyetotellürik araştırmalara paralel olarak bölgedeki glasiyel kökenli kil ve kumdan oluşan yüzey çökellerinin elektrik özdirenç özellikleri incelenmiştir. Metalik oluşumların sıkça görüldüğü Abitibi bölgesinde iletken yüzey killeri oldukça yaygın olup, elektromanyetik tekniklerin uygulanmasında önemli bir engeldir.

Kil, şist ve kumlardan oluşan glasiyel çökeller Prekambrien temel üzerinde yatay katmanlar oluşturmaktadır. Örtü katmanının ortalama kalınlığı 50 m kadar olup, kil kalınlığı yer yer 30 m'yi bulmaktadır. Çalışmamızda, bu kil, silt ve kumların alçak frekanstaki tipik özdirenç değerlerini ve 0.01 Hz ile 1 MHz aralığında özdirençin frekansa bağlı değişimini belirledik.

Ortalama doğru akım (alçak frekans) özdirenç değerleri 22 kilörneğinde ortalama 23 ohm.m, 13 siltörneğinde 72 ohm.m ve arazideki ölçümle kumlarda 1000-5000 ohm.m dir. 0.5 m Wenner elektrot açılımı ile arazide yapılan özdirenç ölçümleri bazı yerlerde alınan örneklerin laboratuvarındaki ölçümlerinden belirgin biçimde daha yüksek çıkmıştır. Bu farkın yüzeye yakın toprağın içindeki çatlaklardan ve toprağın yanal/düsey yönündeki özdirençlerinin farklı olmasından kaynaklandığına inanıyoruz.

Daha önceki araştırmacıların ölçümlelerinin tersine, killerin özdirenç genelde çok az bir frekans bağımlılığı göstermiştir. 5 ile 50 Hz arasındaki frekans etkisi % 2.5 dan daha azdır.

ABSTRACT

In conjunction with our application of Audio Frequency Magnetotellurics to electromagnetic mapping in Northern Ontario (Canada), we have carried out measurements on the electrical resistivity of the surficial deposits (clays, silts and sands). The conductive clays of the Abitibi clay belt, which are quite extensive in our study area, are known to be a serious impediment to the application of EM techniques in this important mining region.

The glaciolacustrine clays, silts and sands generally form a horizontally stratified section. Overburden thicknesses of 50 m and clay layer thicknesses of 30 m are not uncommon. We have characterized the "typical" low frequency resistivities of the clays, silts, and sands and measured the frequency dependence of their resistivity in the range 0.01 Hz to 1 MHz.

The average DC (low frequency) resistivities are: clays (22 samples) 23 ohm.m, silts (13 samples) 72 ohm.m and sands 1000-5000 ohm.m (in situ measurements). In situ DC resistivity measurements using a Wenner array with a spacing of .5 m give consistently higher resistivities than lab measurements on samples from the same locations. We believe that this difference is due to both cracks in the near surface soil and to differences between the horizontal and vertical resistivity of the soil.

In general, the samples show only a small frequency dependence in their resistivity in contrast with previous measurements on clays. The frequency effect between 5 and 50 Hz is typically less than 2.5 %

* Jeofizik Mühendisliği Bölümü, İstanbul Üniversitesi, Avcılar 34850, İstanbul, Türkiye

** Department of Earth Sciences, University of Waterloo, Waterloo, Ontario, Canada

+ The President's Office, The University of British Columbia, Vancouver, B.C., Canada

GİRİŞ

Daha önceki çalışmalarımızda, Kanada Kuzey Ontario'daki yüksek frekanslı manyetotelürik (AMT) araştırmalarımızın bazı sonuçları özetlenmiştir (İlkışık ve dig. 1982). Bu araştırmaların ana amacı kalın iletken bir katman ile örtülü temel kayanın elektriksel yapısının AMT yöntemi ile haritalanması idi. Cochrane ile eski büyük Barlow-Ojibway glasiyel gölünün günümüzdeki kalıntıları olan Abitibi Gölü arasında, glasiyel killer ve gölsel çökeller ile kaplı geniş bir alanda (Şekil 1) A-MT doğrultusu boyunca 28 noktada yapılmış manyetotelürik ölçümlerin sonucu Şekil 2 de görülmektedir.

Genelde 100 m kalınlıktaki glasiyel kil-kum-silt katmanına karşı gelen ve bütün bölgeyi kaplayan örtü katmanı; örtü katmanın altındaki düşey sınırlar ve özellikle iki düşey iletken (Şekil 2c), birbirine dik yönlerde alınan ölçümlerden hazırlanan görünür özdirenç kesitleri (Şekil 2a, b) ve yönbağımlı çizimleri (Şekil 2d) üzerinde izlenebilmektedir.

Şekil 3 de ise Timmins'in doğusundaki Night Hawk Gölü yakınılarında yine glasiyel çökellerle kaplı bir alanda yapılan daha ayrıntılı bir manyetotelürik (MT) çalışmadan (Strangway, İlkışık ve Redman, 1983) alınmış bir örnek görülmektedir. F-34 kod numaralı ölçü noktasılarında alınan MT ölçümleri (Şekil 3a) aynı noktadaki Schlumberger ölçümleri ile birlikte modellenmiştir. Şekil 3b frekans ortamındaki arazi eğrisinin doğrudan derinlik ortamına aktarılması ile bulunan en olası yeraltı modelidir. Şekil 3c de ise ters çözümle yapılan modelleme sonucu verilmiştir. Üstte kum, silt, kil ve yine silitten oluşan düşünülen toplam 115 m lik glasiyel örtü katmanın ortalaması özdirenç 450 ohm.m olup, alitta 5 km kadar kalın 30 000 ohm.m den daha büyük özdirenç sahip Prekambriyen metavolkanik ve metasedimentleri yer almaktadır. Model üzerinde yapılan SVD (İng.; singular value decomposition) analizi üstteki örtü katmanın iletken olan ikinci biriminin direnç ve kalınlığının (sırasıyla 445.9 ohm.m ve 114.3 m dir) arazi ölçümleri üzerindeki en etkili değişkenler olduğunu göstermektedir (Şekil 3a).

Örtü katmanın toplam kalınlığının ve "kum-kil-silt" ten oluşan örtü katmanın içindeki kil kalınlığının ve her ikisinin özdirençindeki yanal değişimlerin doğru izlenebilmesi, alitta geniş bir alana yayılan Prekambriyen temel içindeki bazı olası önemli metalik yatakların (Cu, Pb, Au, ...) elektromanyetik yöntemlerle araştırılması açısından büyük önem taşımaktadır.

Bu çalışmada, örtü katmanını oluşturan kil, silt ve kumtaşlı birimlerinde arazide ve laboratuvara yapılan özdirenç ölçümlerini ve bunların örtü katmanın genel özdirenç yapısı ile ilişkisini tartışacağız. Çalışmalarımızın yoğunlaşlığı alanın geniş bir bölümü Abitibi kil kuşağı ile örtülüdür (Şekil 1). Gölsel-karasal çökeller olan örtü kuşağıının iletken killeri bölgede elektromanyetik tekniklerin

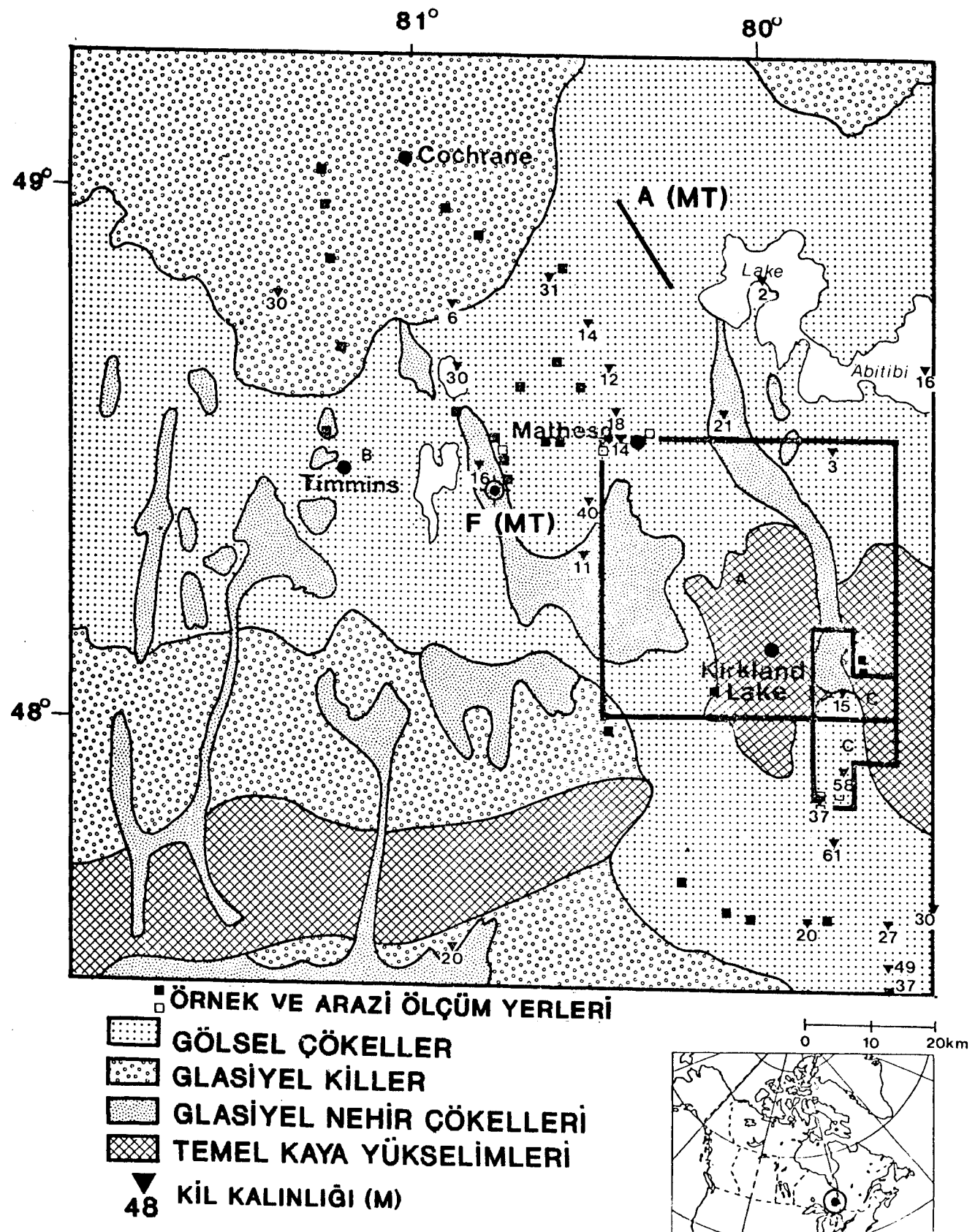
(EM) uygulanmasında nüfuz derinliğinin kısıtlanması nedenile önceli bir engel oluşturmaktadır. Bu iletken yüzeysel çökellerin elektrik özelliklerinin daha iyi anlaşılması EM verilerinin doğru yorumlanması açısından çok yararlı olacaktır. Araştırmamızın iki ana amacı vardır. Birisi, farklı yüzey birimlerinin tipik özdirenç değerlerinin belirlenmesi ve kil, silt ve kumlardan oluşan tipik elektrik kesitin ortaya çıkarılmasıdır. Diğer ise özdirençin frekansa bağlılığının incelenmesidir. Çalışmalarımızın büyük bölümü en iletken yüzey örtü birimi olan kil ve siltlerin özelliklerinin tanınmasına ayrılmıştır.

ÖRTÜ KATMANININ BİRİMLERİ VE KALINLIĞI

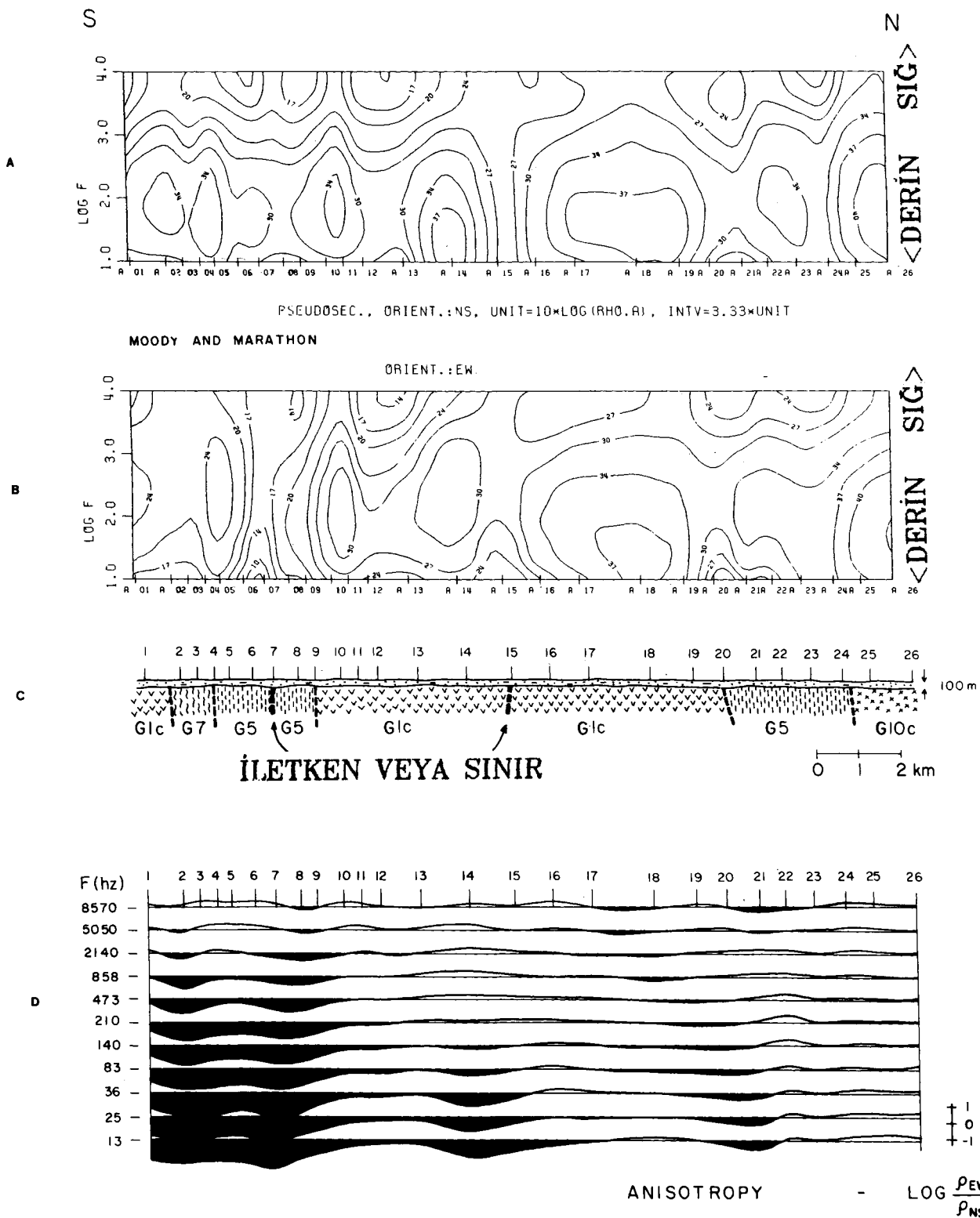
Örtü katmanın ve kil biriminin kalınlığının tipik değerlerinin ne olduğunu belirlenmesi için araştırma alanına ait eldeki yayınlar gözden geçirilmiştir. Abitibi kil kuşağında, killer, siltler ve kumlar geri çekilen buzulların öndeki oluşumlardan biri olan Barlow-Ojibway gölünde çokelmiştir. Genelde killer ve siltler mevsimsel dönüşümlü olarak tekrarlanan bir görüntümededir. Cochrane bölgesinin kuzeyinde ise "till" ler (siltli kil) killeri örter. Bunlar buz katmanın yerel bir ilerlemesi sonucunda oluşmuştur. Diğer bazı bölgelerde de killer "esker" ler (suların taşıma sıyla gelen kumlar) ile örtülmüştür. Temel kaya mostraları arasında kalmış ve vadilere gömülmüş kalın kil cepheleri oldukça yaygındır (Boissonneau 1966, Desaulniers 1982).

Yüzey şekilleri ve birimleri Ontario Geological Survey (OGS) tarafından 1:100 000 ölçekte haritalanmıştır. Ayrıca yine OGS tarafından çeşitli ruhsat raporları esas alınarak hazırlanmış bir dizi kalınlık haritası yayınlanmıştır (Hughes 1961). Eldeki kalınlık haritaları Şekil 1 de A bölgesi olarak işaretli olan, bölgenin önemli bir madencilik alanı olan Kirkland Lake civarındadır. Bu haritalardan oluşan verilere göre üst katman kalınlıklarının histogramı Şekil 4a'da görülmektedir. Timmins civarında B bölgesindeki ruhsat raporlarından hazırlanan örneklemeye ise örtü katmanın genelde 40 m kalınlıkta olduğunu göstermektedir (Şekil 4b). Örnek alınan 221+97 noktanın herbirinin yakınındaki çeşitli verilerden en derin olanı seçilmiştir. Böylece bölgenin derin kısımlarının belirlenmesi amaçlanmıştır. Ancak, sondaj yapanların daha çok örtü katmanın nispeten ince olduğu yerleri tercih etmeleri nedeniyle bu sonuçlar ortamı olduğundan daha ince gösteren bir hata içermektedir. Kanaatimiz incelenen bölgede örtü katman kalınlığının genelde 50 m den daha fazla olduğunu söylemektedir. Örneğin, Gauthier Paftasında yapılan bir sondajda temel kayaca 242 m de ulaşılmıştır.

EM yöntemlerin nüfuz derinliğini kısıtlayan önceli birimler kil ve silt katmanlardır. Sondaj verilerine göre tipik kil ve silt katmanı ortalaması kalınlıkları Şekil 1 üzerinde işaretlenmiştir. Örneğin Frederik House civarındaki 93 sondajdan bulunan ortalaması kil kalınlığı 35 m dir. Temel kayanın mostralalar verdiği Kirkland Lake'in güne-

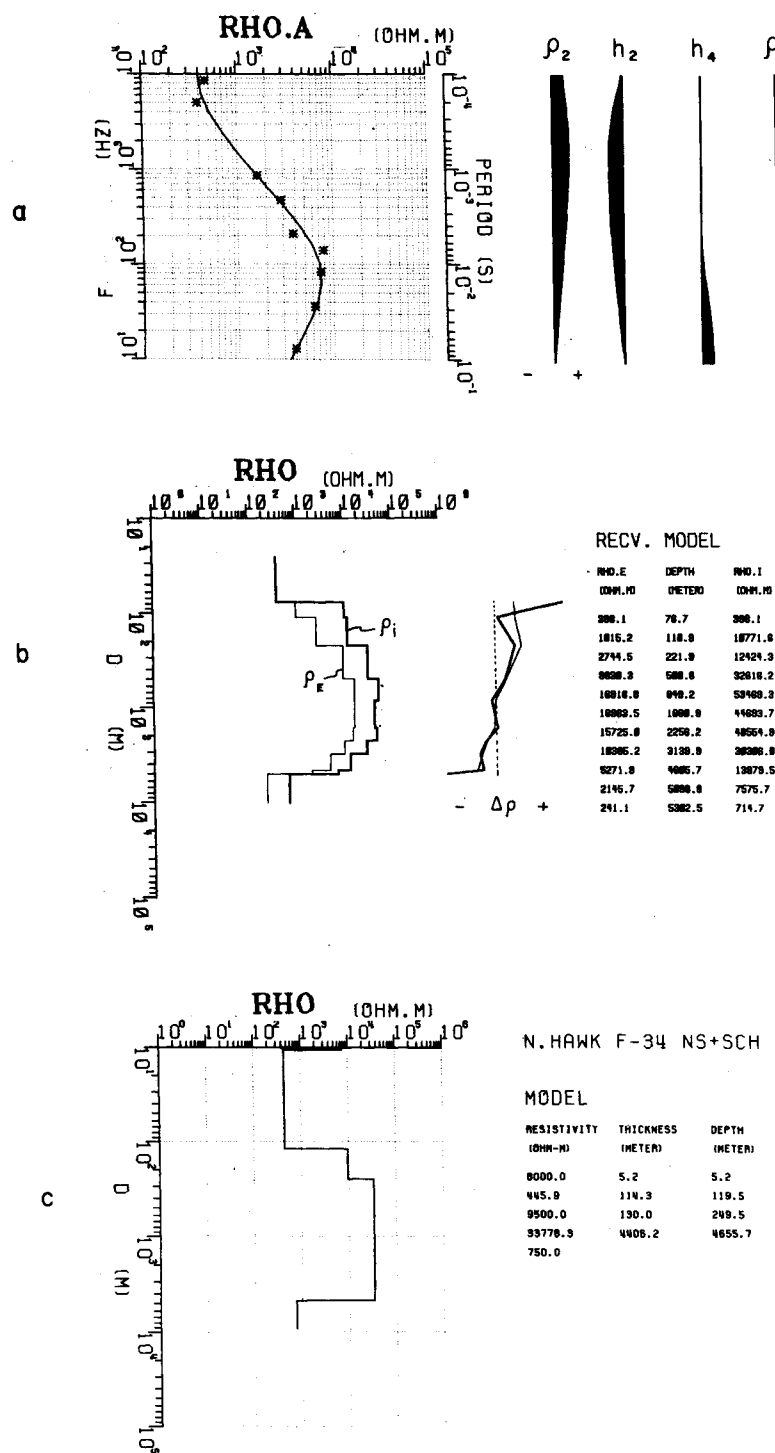


Şekil 1. İnceleme alanı ve örnek alınan yerler.
Figure 1. Study area showing sampling locations.



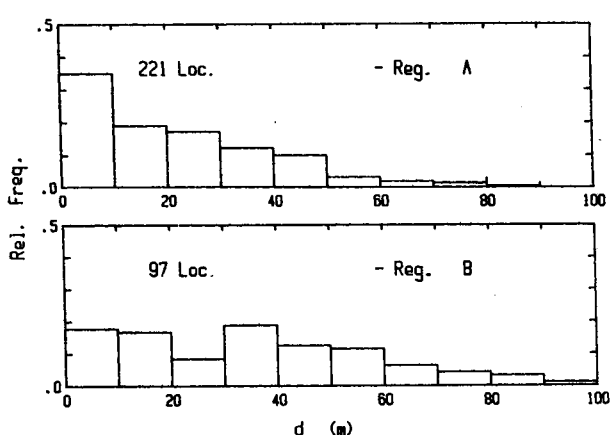
Şekil 2. Moody ve Marathon Paftalarında kuzey-güney doğrultusu boyunca a) KG ve b) DB modlarında alınmış görünür özdirenç kesitleri (Şekil 1 de A-MT doğrultusu); c) jeolojik kesit ve d) yönbağımlı çizimi (Strangway, İlkışık ve Redman 1983).

Figure 2. The pseudosections from Moody and Marathon Townships along north-south orientation in NS and EW modes, (a) and (b) respectively (Profile A-MT on Fig. 1); a sketch geologic section (c), and the anisotropy plot (d); (Strangway, İlkışık and Redman 1983).



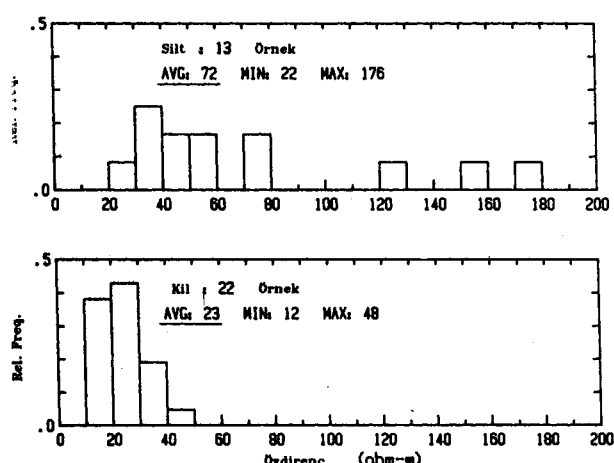
Şekil 3. a) F-34 noktasında (bak. Şek. 1) frekansa bağlı olarak ölçülen AMT değerleri (yıldızlar) ile en iyi modelin tepkisi (dolu çizgi) ve SVD analizi ile belirlenen en önemli değişkenlerin etkileri. b) Veriden doğrudan saptanmış modelin görünümü. ρ_E , etkin özdirenç; ρ_i aradeğer özdirencidir. c) AMT ve Schlumberger ölçümlerine göre en iyi ters çözüm modeli (Strangway, İlkişik ve Redman 1983).

Figure 3. AMT measurements (asterisks) vs. frequency at site F-34 (see Fig. 1), together with the best model response (full line) and the effects of the most important model parameters derived from SVD analysis. b) Illustration of the directly recovered model from data. ρ_E , effective resistivity; ρ_i , interval resistivity. c) Best fitted inverse model based on AMT and Schlumberger measurements (Strangway, İlkişik and Redman 1983).



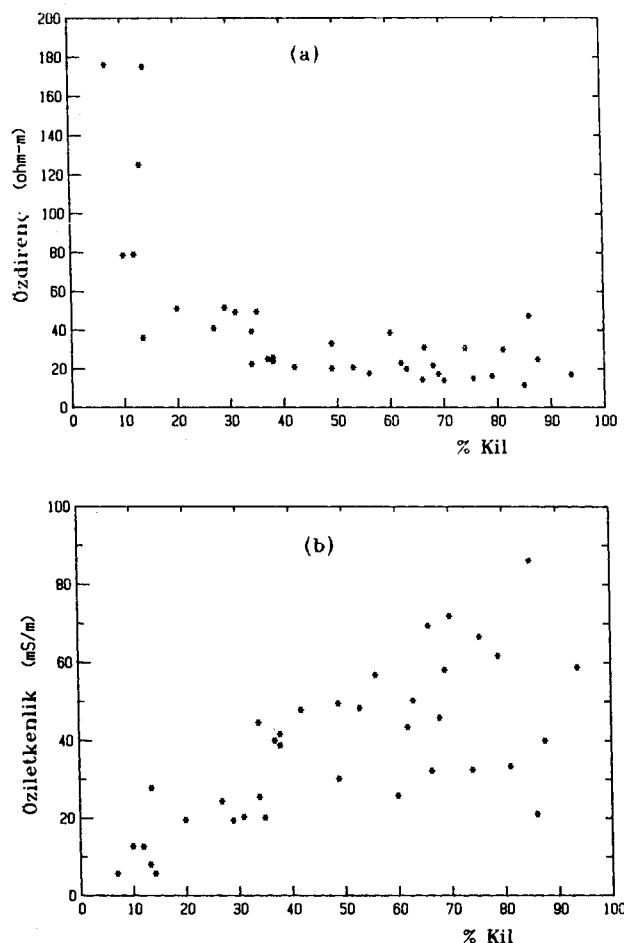
Şekil 4. İki bölgede örtü katman kalınlıkları. a) A bölgesi Kirkland Lake civarında olup, b) B alanı ise Şekil 1 de işaretlenen Timmins civarındadır. Veriler ruhsat raporlarından ve Ontario Geological Survey'in kalınlık haritalarından derlenmiştir (Maps P. 2477-2480, 1979).

Figure 4. Overburden thickness distributions for two regions. a) Region A is around Kirkland Lake and b) region B is around Timmins as outlined on Figure 1. The data were obtained from Ontario Geological Survey drift thickness maps and assessment files (Maps P. 2477-2480, 1979).



Şekil 6. Kil ve siltler üzerinde 50 Hz için ölçülen özdirenç değerleri. Siltlerin özdirençleri daha yüksek olup değerler daha değişkendir.

Figure 6. The distribution of resistivities at 50 Hz for silts and clays. The silts are more variable and have higher resistivities.



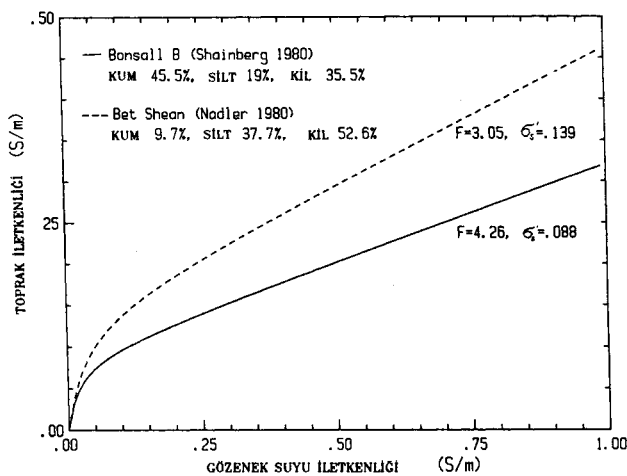
Şekil 5. a) 1" (inch) çapında silindirik örneklerde 50 Hz için ölçülen özdirenç ve b) öziletkenliğin kil içeriğinin fonksiyonu olarak değişimi.

Figure 5. a) The magnitude of the resistivity and b) conductivity at 50 Hz on 1" cylindrical sample are plotted as a function of clay content.

yinde (C bölgesi) Averill ve Thompson (1981) tarafından OGS adına yürütülen bir sondaj programında en büyük örtü katman kalınlığı 73 m ve en büyük kil katman kalınlığı 58 m gözlenmiştir. Bu bölgedeki kuyularda gözlenen üst katman kesitlerindeki stratigrafi oldukça değişkendir. Kil ve silt katmanları sık sık değişen kalınlıktaki kum katmanları altında kalmıştır. Bu alan için eldeki sismik veriler ve sondaj sonuçları temel kaya topografiyasında önemli değişimlerin olabileceğini, kille dolmuş vadilerin ve kanalların oldukça yaygın olduğunu işaret etmektedir.

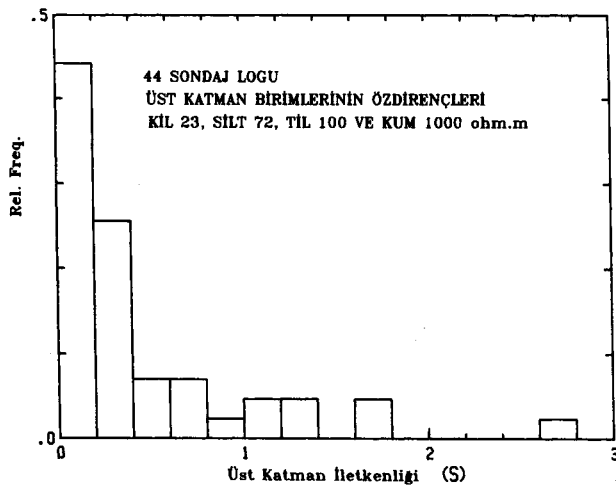
ÖZDIRENC ÖLÇÜMLERİ

Özdirenç ölçümleri için yerleri Şekil 1 de belirtilmiş olan örnekler kum ocaklarından, yol yarmalarından veya dere yatakları boyunca mostralardan alınmıştır. Örnek toplanırken ayırmamış ve bozulmamış kil açığa çıkıncaya



Şekil 7. Nadler ve Frenkel (1980) ile Shainberg ve dig. (1980) den alınan iki toprak örneği için toprak iletkenliğinin gözenek suyunun iletkenliğine bağlı tipik değişimi.

Figure 7. Typical dependence of soil conductivity on pore water conductivity for two soil samples from Nadler and Frenkel (1980) and Shainberg et al. (1980).

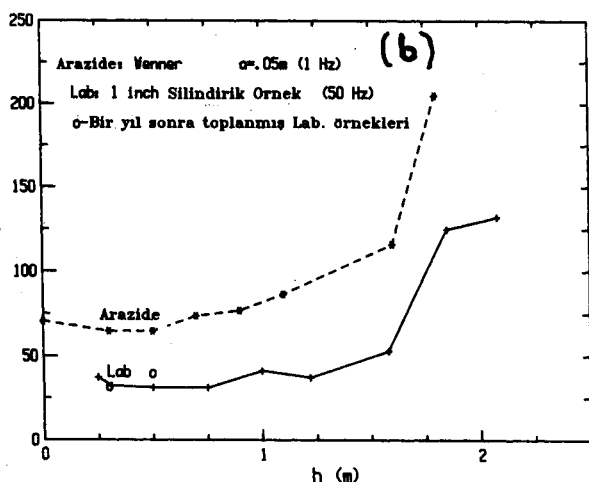
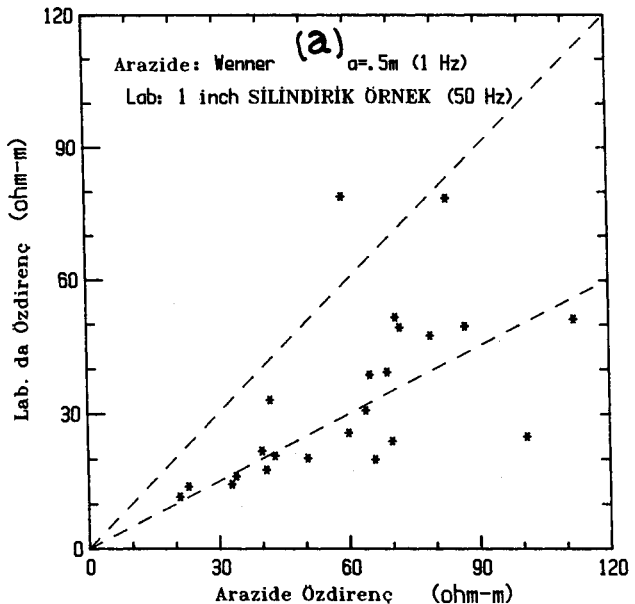


Şekil 8. Kirkland Lake'in güneydoğusunda (Şekil 1 de gösterilen) C bölgesinde belirlenmiş üst katman iletkenlikleri.

Figure 8. Estimated overburden conductances for region C (shown on Figure 1) southeast of Kirkland Lake.

kadar üstteki malzemeler atılmıştır. Örnekler, yatay özdirencin belirlenmesine uygun bir yönde, kılın yüzeyine 1" (inch) lik plastik bir tüp bastırılarak alınmıştır ve birimin olabildiğince tekdüze özelliklerini simgeler. Ayrıca orijinal nem içeriğinin korunması için plastik torbalara konmuş ve ağızları tamamen kapatılmıştır.

Alınan örneklerin 5 Hz ile 1 MHz frekans aralığında

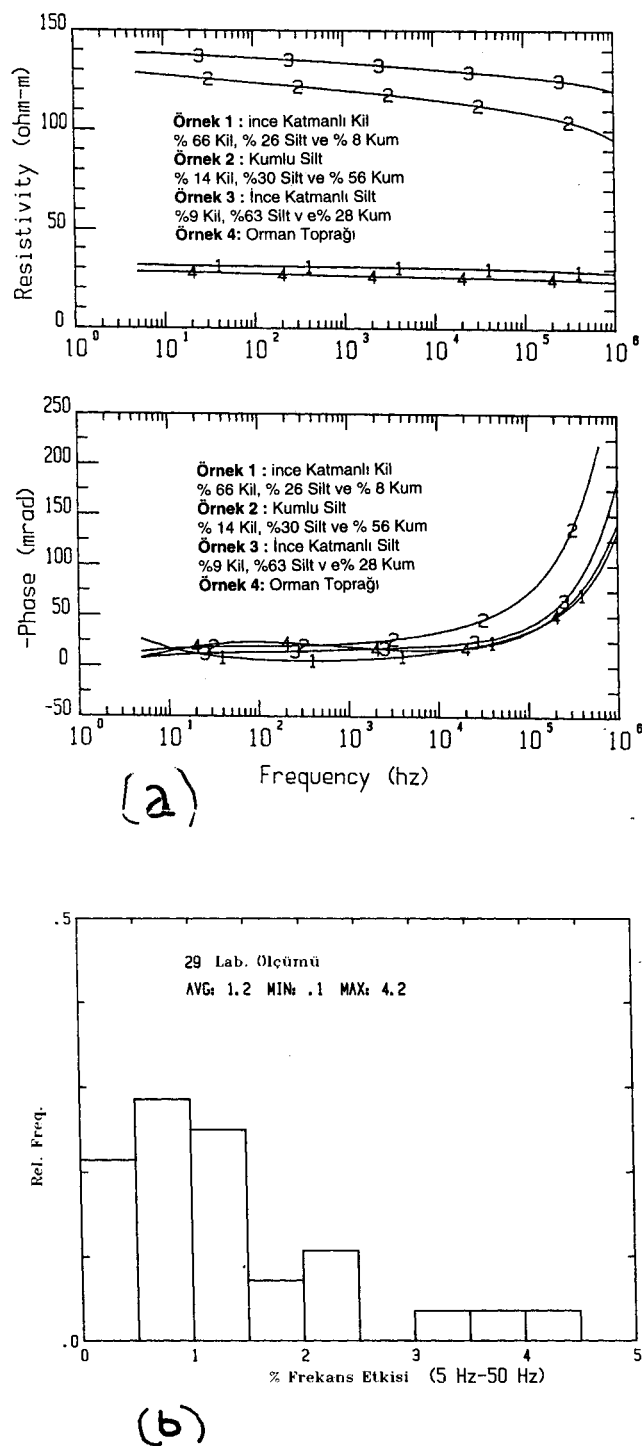


Şekil 9. a) Arazide ve laboratuvara ölçülen özdirençler arasındaki ilişki. Arazi ölçümleri $a=0.5$ m elektrod aralığı kullanılarak Wenner dizilimi ile yapılmıştır. Örneklerin yerleri Şekil 1 de işaretlenmiştir.

b) 2 m lik bir kıl katmanında arazide ve laboratuvara ölçülen özdirençlerin karşılaştırılması. Arazi ölçümlerinde $a=0.5$ m elektrot açılım ile Wenner dizilim kullanılmıştır.

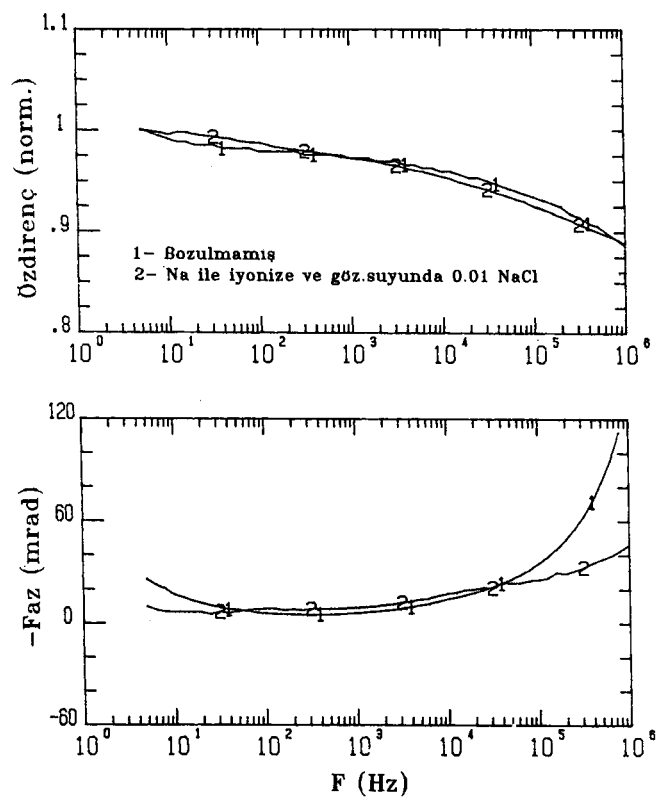
Figure 9. a) Relationship between the in situ and laboratory measurements of the resistivity using a Wenner array with $a=0.5$ m for the in situ measurements. The sample sites are shown on Figure 1.

b) Comparison of in situ and laboratory measurements of resistivity through a 2 m clay layer. For the in situ measurements a Wenner array, with $a=0.5$ m, was used.



Şekil 10. a) Tipik toprak örnekleri için özdirencin ve fazın frekansa bağlı değişimi.
b) Laboratuvar örneklerinde gözlenen yüzde olarak frekans etkisinin (PFE) dağılımı.

Figure 10. a) The frequency dependence of the phase and magnitude of the resistivity of typical soil samples.
b) The distribution of percent frequency effect (PFE) observed in laboratory samples.



Şekil 11. Homo-ionize ve bozulmamış kıl örnekleri için özdirencin ve fazın frekansa bağlı (normalize) değişimi. 5 Hz deki özdirenç (ki normalizasyon değeridir) bozulmamış örnek için 32 ohm.m, iyonize örnek içinse 9 ohm.m dir.

Figure 11. The (normalized) frequency dependence of the resistivity for a homoionized and untreated clay sample. The resistivity at 5 Hz (normalizing value) is 32 ohm.m for the untreated sample and 9 ohm.m for the treated sample.

direnç ve faz değerleri ölçülmüştür. Ek olarak 0.01 Hz ile 1 MHz frekans aralığında da bazı ölçümler yapılmıştır. 5 Hz'in üzerindeki freksnlardaki ölçümleler Hawlett Packard HP4192a empedans analizörü kullanılmıştır. 5 Hz-10 kHz arasında farklı akım ve potansiyel elektrotları kullanılarak 4 elektrotlu ölçüler, 10 kHz'in üzerinde ise dört uşlu ve iki elektrotlu teknik kullanılmıştır. Akım elektrotları için platin ağ, potansiyel elektrotları için platin tel kullanılmıştır. Bütün ölçümleler akım yoğunluğu yaklaşık 0.1 A/m seçilmiştir. Örneklerimiz içerdikleri kum, silt ve kıl taneciklerinin hacim oranına göre sınıflandırılmıştır. Bu tane boyutu analizi, süzülme ve tortulasma analizindeki standart tekniklerle yapılmıştır. Kum hacim oranı ise örnek 45 µm lik bir süzgeçten geçirilerek belirlenmiştir. Geri kalan silt ve kıl içeren örnek ise bir kimyasal çözücü (calgon) içeren saf suda ayrırtırılmıştır. Karışım 4 µm den büyük tane boyutundaki bütün parçacıklar çökünceye kadar bekletilmiştir. Ayırışma olduktan sonra, çözeltinin içindeki kıl miktarı sıvı bir fırında buharlaştırılıp kalan tortu tartışarak belirlenmiş-

tir. Tortu içinde kalan kimyasal çözücü miktarı için de düzeltmeler yapılmıştır. Bu çökelme işlemi bütün kil miktarı giderilinceye kadar üç kere tekrarlanmıştır. Bu işlem sonunda silindir kabda kalan tortu silt miktarının belirlenmesinde kullanılmıştır.

Kil hacim oranı tipik olarak % 70 kadar kil minerali içermektedir. Kil örneklerinin birkaçı üzerindeki x-ışını difraksiyonu analizi temel kil minerallerinin % 40 oranında klorit ve % 30 oranında illit olduğunu göstermiştir. Yazıda kum, silt ve kılın miktarına得分inde örneğin mineralojisi değil tane hacim oranı kastedilmektedir.

ALÇAK FREKANS ÖZDIRENÇ ÖLÇÜMLERİ

Alçak frekans (50 Hz) veya doğru akım (DC) özdirenç ölçüm sonuçları Şekil 5 de görülmektedir. Grafiklerde, Şekil 1 de görülen dağınık yerlerin herbirine bir ölçüm karşı gelmektedir. Sonuçların hem iletkenlik hem özdirenç cinsinden gösterilmesi verilerde düşük ve yüksek kil içeriği görülmeli durumunda ayrıntıları yansıtır. Sabit bir kil içeriği için belli miktarda saçılma olmasına karşın, artan kil miktarı ile iletkenlik artışı açıkça gözlenmektedir. Belirli bir miktarda kil'e karşı gelen dağılım ise daha çok farklı gözenek suyu iletkenlikleri ve farklı ortamlarda gelen örneklerin formasyon türleri ile kontrol edilmektedir.

Şekil 6 da siltler ve killer için özdirencin dağılım grafiği verilmektedir. Verilerin sunulmasında örnekler üç gruba bölünmüştür. % 35 den çok (hacim oranı) kil içeren killer az kil içeren ve % 70 ten az kum içeren siltler. Kil'lerin özdirençleri daha çok ortalama 23 ohm.m civarındadır, ancak siltlerin özdirençleri biraz daha çok değişmektedir. AMT yöntemi ile bölgede yaptığımız arazi çalışmamız (İlkışık ve diğ. 1982) iletken örtü katmanlarının çoğu üzerinde 20-50 ohm.m lik tipik değerler vermiştir.

Alçak frekans veya doğru akımda toprak iletkenliğinin (σ) gözenek suyu iletkenliğine ve parçacıkların yüzey iletkenliğine bağımlılığını açıklamak üzere Shainberg ve diğ. (1980) tarafından nispeten basit bir model önerilmiştir. Bu modelde bir toprakta iletimi açıklamak üzere iki yol düşünülmüştür. Bir iletim yolu yalıtkan olduğu düşünülen taş dokunun gözeneklerinden geçer. Diğer yolunu ise kil parçacıkların yüzeyindeki yükler oluşturur. Bu durumda topraktaki iletkenlik

$$\sigma = \sigma_w F^{-1} + \sigma_s \sigma_w (K\sigma_s + \sigma_w)^{-1} \quad (1)$$

birimde yazılabilir. Burada $\sigma_s = \mu^+ C \rho (\emptyset F)^{-1}$ olup, μ^+ katman yüzeyine nüfuz edebilen belirli bir katyonun hareketliliği (cm.s/Vm), C katyon bağlanması kapasitesi (meq/gr), ρ toprağın yoğunluğu (gr/cm^3), \emptyset gözeneklilik, σ_w gözenek suyu iletkenliği (mmho/cm), σ_s görünürlük yüzey iletkenliği (mmho/cm), F formasyon faktörü ve K katmanın oransal uzunluk katsayısı ($K \approx 0.3$) dır.

Şekil 7 de Nadler ve Frenkel (1980) ile Shainberg ve diğ. den (1980) alınan iki örnek için toprak iletkenliğinin, gözenek suyu iletkenliğine bağlı yukarıdaki modele dayanan değişimi görülmektedir. Mevsimlik katmanlı (ince renk tekrarı gösteren) killerde de gözenek suyu iletkenliğine benzer bir bağımlılık beklenirken, daha yoğun oldukçandan topraktan daha yüksek formasyon faktörleri gözlemlenmiştir. Biz, kil örneklerimizden birinde (% 62 kil, silt ve kum) gözenek suyu iletkenliğini 0.13 S/m ölçüktük.

Shainberg modeli farklı yerlerden toplanan örneklerde sabit bir kil miktarı için iletkenlikte gözlenen saçılımanın farklı gözenek suyu iletkenliklerine, formasyon katsayılarına ve katyon değişme (exchange) kapasitesine (kil miktarına değil farklı kil mineralojisi ve iyonik elemanlarla ilişkili) bağlı olduğuna işaret etmektedir. Benzer bir kaynaktan gelen ve aynı çevrede çökelen killerin bulunduğu bir bölgede (yani bölgemizdeki Barlow-Ojibway gölü) bütün örneklerdeki kil mineralojisinin aynı olduğu kabul edilebilir. Bu yüzden iletkenliklerinde saçılma daha çok farklı gözenek suyu iletkenliklerine ve formasyon faktörlerine bağlı olmalıdır. Bölgeden toplanan toprak örneklerinin özdirençlerine ilişkin ölçümümüz tipik değerler olarak alınabilir.

Kirkland Lake'in güneyinde örtü katmanı üzerinde sondajlardaki kuyu loglarını ve bizim laboratuvardaki silt, kil ve kumlar üzerindeki özdirenç ölçümümüzü kullanarak bu bölgede "till"ler için üst katman iletkenliği tahmin edilebilir (Şekil 8). Bu sonuçlar genelde bölgede 1-2 Siemenslik iletkenlik değerleri geçerli olduğunu göstermektedir. Abitibi bölgesinde tuzlu su içeren bazı örtü katmanlarında özdirençlerin çok daha farklı olduğu rapor edilmiştir. Abitibi kil kuşağında gözlediğimiz ortalama 23 ohm.m lik değere karşı Ontario'nun Hawkerbury bölgesindeki denizel killerde 2 ohm.m civarında düşük özdirençler ölçülmüştür (Dyck 1979).

0.5 m lik elektrot açılımı ve Wenner dizilimi kullanılarak, örnek alınan noktalarda arazide özdirenç ölçümleri de yapılmıştır. Laboratuvardaki ölçümümüzle arazideki ölçümümüzizin karşılaştırılması Şekil 9a da görülmektedir. Laboratuvar ölçümümüz hemen tamamı arazi ölçümünün yaklaşık yarısı kadar çıkmıştır. Bu farkın daha çok yüzeye yakın topraklardaki direnci artırıcı çatıklara ve toprak içinde yatay ve düşey yönde dirençlerin farklı olmasına bağlı olduğuna inanıyoruz. Bu bölgedeki (ince çizgili) killer için Chan ve Kenny (1973) yönbağlı su geçirimi katsayılarının 5 kat farklı olabileceğine işaret etmektedir. Bu ise benzer bir etkinin elektrik özdirençler üzerinde de gözlenebileceğine işaret eder. Şekil 9b de 2 m kalınlığındaki aynı bir kil katmanından alınan çeşitli örnekler için laboratuvara ve arazideki ölçüler arasındaki benzer bir farkı yansıtmaktadır.

ÖZDIRENCİN FREKANSA BAĞIMLILIĞI

Laboratuvar örneklerimizin karmaşık özdirençinin frekans bağımlılığı da araştırılmıştır (Şekil 10a). Mehran ve Arulanandan'ın (1977) kaolenit, illit ve siltli kılın özdirençine ilişkin laboratuvar ölçümleri 50 Hz - 100 kHz frekans aralığında önemli bir frekans bağımlılığı göstermektedir. Onların ölçümleri özdirenç değişim büyülüğünün azalan su içeriği, elektrolit yoğunluğu ve katyon değişim kapasitesi ile arttığını göstermiştir. Siltli killar üzerindeki ölçümler 100 Hz ile 1 kHz arasında % 17 bir frekans etkisi vermiştir. Onların gözlediği değişimler bizim gözlemeğimizden çok daha fazladır. Bizim gözlemlerimizde en büyük değişim 5 - 50 Hz arasında % 4 civarındadır (Şekil 10b). Genelde örneklerimizin özdirençinde frekansa bağlı çok az bir değişim vardır. Sadece daha önce de işaret ettiğimiz gibi (Strangway ve dig. 1983) örneklerimizden tek bir tanesinde önemli bir negatif PFE ve pozitif faz açısı görülmüştür.

Örneklerimizde gözlenen özdirenç değişiminin Mehran'ın sonuçları ile doğrudan karşılaştırılması amacıyla örneklerimizden birini Na⁺ ile iyonize ettik ve aynı yerden alınan diğer bir örneğin sonuçları ile kıyasladık. 1 mol NaCl eriyiği ile bütün yer değiştirebilen katyonları Na⁺ ile değiştirilen homo-iyonize örnek, önce saf su içinde yumusatıldı ve sonra 0.01 mol NaCl eriyiği ile karıştırdı. Sonuçta, gözlenen frekans bağımlılığı hiç bir işlem yapılmayan örnek ile aynıdır (Şekil 11). İşlem yapılanla görülmemesine karşın, hiç işlem yapılmayan örnekte alçak freksnlarda çok küçük bir (azalan özdirenç ve negatif faz) değişimi vardır. İşlem yapılan örnek yüksek freksnlarda daha yüksek bir faz etkisi göstermektedir, fakat bu (tuzlu olması nedeniyle) daha düşük bir doğru akım özdirençinde olmasından kaynaklanmış olmalıdır. İşlenmiş örnekte (50 Hz ve 100 kHz) arasındaki frekans etkisi % 6 kadar olup Mehran ve Arulanandan (1977) tarafından bir illit-kıl örneğinde elde edilen % 25 lik değerden çok küçüktür.

SONUÇLAR

Kuzey Ontario'da Prekambrien temel içindeki metilik tloşumlarının araştırılması için çeşitli elektromanyetik yöntemler kullanılmaktadır. Ancak, yüzeyde çok geniş bir alana yayılan ortalama 100 m kalınlığındaki glasiyel göl çökelleri, ölçümllerin doğru yorumlanması önleyici bazı etkiler yapmaktadır. Arazide ve laboratuvara yapılan bu özdirenç ölçümleri ile bölgedeki üst örtü katmanın tipik bir elektrik kesiti belirlenmiştir. Ölçümllerimiz killar için özdirenç değerlerinin 20 ohm.m, ve siltler için 70 ohm.m olduğunu göstermiştir. Arazide ve laboratuvardaki ölçümller arasındaki farka neden olan ilişkinin biraz daha araştırılması gerektiği kanısındayız. Genelde killerin direncinin frekansa bağımlılığı az olup, farklı freksnlarda çalışan birçok EM tekniginin uygulanması ve sonuçların yorumlanması açısından önemlidir.

KATKI BELİRTME

Bu çalışma ilk yazarın Toronto Üniversitesi'ndeyken katıldığı ve Ontario Geological Survey tarafından desteklenen (OGS Grant No. 118). "Surface Electromagnetic Mapping in Selected Positions of Northern Ontario" isimli projede yürütülen araştırmaların bir bölümünü kapsamaktadır.

KAYNAKLAR

- Averill, S.A. and Thomson, I. 1981, Reverse circulation rotary drilling and deep overburden geochemical sampling in Marter. Catherine, McElroy, Skead, Gauthier and Hearst Townships, District of Timiskaming, Ontario Geological Survey OFR-5355.
- Boissonneau, A.N. 1966, Glacial history of northeastern Ontario-1. The Cochrane-Hearst Area, Can. J. of Earth Sciences 3, 559-578.
- Chan, H.T. and Kenny, C.T. 1973, Laboratory investigation of the permeability rates of New Liskeard varved soil. Can. Geotechnical J. 10, 453-472.
- Desaulniers, D.E. 1982, Clayey Quaternary Deposits in Northern Ontario-A Review, Atomic Energy of Canada TR-305.
- Dyck, A.V. 1974, Surficial Conductivity mapping with the airborne Input system, Can. Inst. of Min. and Metall. Bull. 67, 104-109.
- Hughes, O.L. 1961, Preliminary report on borings through Pleistocene deposits, Cochrane District, Ontario. Geol. Surv. of Can., Paper 61-16.
- İlkışık, O.M., Hsu, D.T., Redman, J.D. and Strangway, D.W. 1982, Surface Electromagnetic Mapping in Selected Positions of Northern Ontario, Ontario Geological Survey, Miscellaneous Paper 103.
- Maps H. 2477-2480, 1979, Northern Ontario Engineering Terrain Study Data Base Maps. Ontario Geological Survey, Toronto.
- Mehran, M. and Arulanandan, K. 1977, Low frequency conductivity dispersion in clay-water-electrolyte systems, Clays and clay Minerals 25, 39.
- Nadler, A. and Frenkel, H. 1980, Determination of soil solution electrical conductivity from bulk soil electrical conductivity measurements by the four-electrode method, Soil Sci. Soc. of Am. J. 44.
- Roy, K.K. and Elliot, H.M. 1980, Model studies on some aspects of resistivity and membrane polarization behaviour over a layered earth, Geophys. Prosp. 28, 759-775.
- Shainberg, I., Rhoades, J.D. and Prather, R.J. 1980, Effect of exchangeable sodium percentage, cation exchange capacity, and soil solution concentration on soil electrical conductivity, Soil Sci. Soc. of Am. J. 44.
- Strangway, D.W., İlkışık, O.M. and Redman, J.D. 1983, Surface Electromagnetic Mapping in Selected Positions of Northern Ontario, 1982-83, Ontario Geological Survey, Miscellaneous Paper 113.